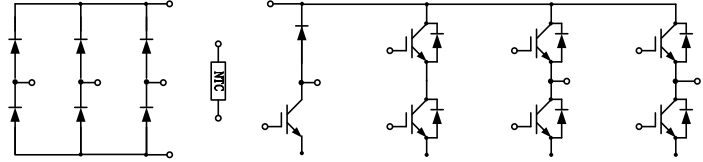


PIM IGBT Module

电气特性:

- 1200V 沟槽栅/场终止工艺
- 低开关损耗
- 正温度系数



典型应用:

- 变频器
- 伺服
- 逆变器



$V_{CES} = 1200V, I_{C\ nom} = 10A / I_{CRM} = 20A$

IGBT, 逆变器 / IGBT, Inverter

最大额定值 / Maximum Ratings

Parameter	Conditions	Symbol	Value	Unit
集电极-发射极电压 Collector-Emitter voltage	$T_{vj} = 25^{\circ}C$	V_{CES}	1200	V
连续集电极直流电流 Continuous DC collector current	$T_C = 100^{\circ}C, T_{vj\ max} = 175^{\circ}C$	$I_{C\ nom}$	10	A
集电极重复峰值电流 Repetitive peak collector current	$t_p = 1\ ms$	I_{CRM}	20	A
总功率损耗 Total power dissipation	$T_C = 25^{\circ}C, T_{vj\ max} = 175^{\circ}C$	P_{tot}	105	W
栅极-发射极电压 Gate emitter voltage		V_{GE}	± 20	V

特征值 / Characteristic Values

Parameter	Conditions	Symbol	Value			Unit
			Min.	Typ.	Max.	
集电极-发射极饱和电压 Collector-Emitter saturation voltage	$V_{GE} = 15V, I_C = 10A$ $V_{GE} = 15V, I_C = 10A$ $V_{GE} = 15V, I_C = 10A$	V_{CESat}		1.71 1.97 2.05	2.10	V
栅极-发射极阈值电压 Gate-Emitter threshold voltage	$I_C = 0.30mA, V_{GE} = V_{CE}$		$T_{vj} = 25^{\circ}C$	$V_{GE(th)}$	5.0 5.6 6.2	
内部栅极电阻 Internal gate resistor				R_{Gint}	None	Ω

栅电荷 Gate charge	$V_{GE}=-15V...+15V$	Q_G		0.10		μC
输入电容 Input capacitance	$f=1MHz, V_{CE}=25V, V_{GE}=0V \quad T_{vj}=25^\circ C$	C_{ies}		0.88		nF
反向传输电容 Reverse transfer capacitance		C_{res}		0.04		
集电极-发射极截止电流 Collector-emitter cut-off current	$V_{CE}=1200V, V_{GE}=0V \quad T_{vj}=25^\circ C$	I_{CES}			1	mA
栅极-发射极漏电流 Gate-emitter leakage current	$V_{CE}=0V, V_{GE}=20V \quad T_{vj}=25^\circ C$	I_{GES}			100	nA
开通延迟时间 Turn-on delay time	$I_C=10A, V_{CE}=600V \quad T_{vj}=25^\circ C$ $V_{GE}=\pm 15V, R_G=40\Omega \quad T_{vj}=125^\circ C$ (电感负载) / (inductive load) $T_{vj}=150^\circ C$	t_{don}		48		
				45		
				44		
上升时间 Rise time	$I_C=10A, V_{CE}=600V \quad T_{vj}=25^\circ C$ $V_{GE}=\pm 15V, R_G=40\Omega \quad T_{vj}=125^\circ C$ (电感负载) / (inductive load) $T_{vj}=150^\circ C$	t_r		34		
				36		
				37		
关断延迟时间 Turn-off delay time	$I_C=10A, V_{CE}=600V \quad T_{vj}=25^\circ C$ $V_{GE}=\pm 15V, R_G=40\Omega \quad T_{vj}=125^\circ C$ (电感负载) / (inductive load) $T_{vj}=150^\circ C$	t_{doff}		240		ns
				283		
				294		
下降时间 Fall time	$I_C=10A, V_{CE}=600V \quad T_{vj}=25^\circ C$ $V_{GE}=\pm 15V, R_G=40\Omega \quad T_{vj}=125^\circ C$ (电感负载) / (inductive load) $T_{vj}=150^\circ C$	t_f		175		
				202		
				276		
开通损耗能量 (每脉冲) Turn-on energy loss per pulse	$I_C=10A, V_{CE}=600V \quad T_{vj}=25^\circ C$ $V_{GE}=\pm 15V, R_G=40\Omega \quad T_{vj}=125^\circ C$ (电感负载) / (inductive load) $T_{vj}=150^\circ C$	E_{on}		0.87		mJ
				1.27		
				1.40		
关断损耗能量 (每脉冲) Turn-off energy loss per pulse	$I_C=10A, V_{CE}=600V \quad T_{vj}=25^\circ C$ $V_{GE}=\pm 15V, R_G=40\Omega \quad T_{vj}=125^\circ C$ (电感负载) / (inductive load) $T_{vj}=150^\circ C$	E_{off}		0.67		
				0.85		
				0.89		
短路数据 SC data	$V_{GE} \leq 15V, V_{CC}=800V$ $V_{CEmax}=V_{CES}-L_{sCE} \cdot di/dt \quad t_p \leq 10\mu s, T_{vj}=150^\circ C$	I_{SC}		59		A
结-外壳热阻 Thermal resistance, junction to case	每个 IGBT / per IGBT	R_{thJC}		1.25	1.40	K/W
在开关状态下温度 Temperature under switching conditions		$T_{vj op}$	-40		150	$^\circ C$

二极管, 逆变器 / Diode, Inverter

最大额定值 / Maximum Ratings

Parameter	Conditions	Symbol	Value	Unit
反向重复峰值电压 Repetitive peak reverse voltage	$T_{vj}=25^\circ C$	V_{RRM}	1200	V
连续正向直流电流 Continuous DC forward current		I_F	10	A
正向重复峰值电流 Repetitive peak forward current	$t_p=1ms$	I_{FRM}	20	A
I^2t 值 I^2t -value	$t_p=10ms, \sin 180^\circ, T_{vj}=125^\circ C$	I^2t	24	A^2s

特征值 / Characteristic Values

Parameter	Conditions	Symbol	Value			Unit
			Min.	Typ.	Max.	
正向电压 Forward voltage	$I_F=10A, V_{GE}=0V$ $I_F=10A, V_{GE}=0V$ $I_F=10A, V_{GE}=0V$	$T_{vj}=25^\circ C$ $T_{vj}=125^\circ C$ $T_{vj}=150^\circ C$	V_F	1.47 1.48 1.69	2.0	V
反向恢复峰值电流 Peak reverse recovery current	$I_F=10A,$ $-di_F/dt=298A/\mu s(T_{vj}=150^\circ C)$ $V_R=600V, V_{GE}=-15V$	$T_{vj}=25^\circ C$ $T_{vj}=125^\circ C$ $T_{vj}=150^\circ C$	I_{RM}	15 16 18		A
恢复电荷 Recovered charge	$I_F=10A,$ $-di_F/dt=298A/\mu s(T_{vj}=150^\circ C)$ $V_R=600V, V_{GE}=-15V$	$T_{vj}=25^\circ C$ $T_{vj}=125^\circ C$ $T_{vj}=150^\circ C$	Q_F	1.5 2.6 3.1		μC
反向恢复损耗（每脉冲） Reverse recovered energy	$I_F=10A,$ $-di_F/dt=298A/\mu s(T_{vj}=150^\circ C)$ $V_R=600V, V_{GE}=-15V$	$T_{vj}=25^\circ C$ $T_{vj}=125^\circ C$ $T_{vj}=150^\circ C$	E_{rec}	0.50 0.88 1.03		mJ
结-外壳热阻 Thermal resistance, junction to case	每个 Diode / per diode		R_{thJC}	1.75	1.90	K/W
在开关状态下温度 Temperature under switching conditions			$T_{vj op}$	-40	150	$^\circ C$

二极管，整流器 / Diode, Rectifier

最大额定值 / Maximum Ratings

Parameter	Conditions	Symbol	Value	Unit
反向重复峰值电压 Repetitive peak reverse voltage	$T_{vj}=25^\circ C$	V_{RRM}	1600	V
反向不重复峰值电压 Non-Repetitive peak reverse voltage	$T_{vj}=25^\circ C$	V_{RSM}	1800	V
最大正向平均电流 Maximum Average Forward Current		$I_{F(AV)}$	16	A
正向浪涌电流 Surge forward current	$t_p=10ms, \sin 180^\circ, T_{vj}=25^\circ C$	I_{FSM}	190	A
I^2t 值 I^2t -value	$t_p=10ms, \sin 180^\circ, T_{vj}=125^\circ C$	I^2t	360	A^2s

特征值 / Characteristic Values

Parameter	Conditions	Symbol	Value			Unit
			Min.	Typ.	Max.	
正向电压 Forward voltage	$I_F=16A, T_j=25^\circ C$	V_F		0.95		V
反向电流 Reverse current	$V_R=V_{RRM}$ $T_{vj}=25^\circ C$	I_R			5	μA

在开关状态下温度 Temperature under switching conditions		$T_{vj\ op}$	-40		150	°C
--	--	--------------	-----	--	-----	----

IGBT, 制动-斩波器 / IGBT, Brake-Chopper

最大额定值 / Maximum Ratings

Parameter	Conditions	Symbol	Value	Unit
集电极-发射极电压 Collector-Emitter voltage	$T_{vj}=25^{\circ}\text{C}$	V_{CES}	1200	V
连续集电极直流电流 Continuous DC collector current	$T_C=100^{\circ}\text{C}, T_{vj\ max}=175^{\circ}\text{C}$	$I_{C\ nom}$	10	A
集电极重复峰值电流 Repetitive peak collector current	$t_p=1\ ms$	I_{CRM}	20	A
总功率损耗 Total power dissipation	$T_C = 25^{\circ}\text{C}, T_{vj\ max} = 175^{\circ}\text{C}$	P_{tot}	105	W
栅极-发射极电压 Gate emitter voltage		V_{GE}	± 20	V

特征值 / Characteristic Values

Parameter	Conditions	Symbol	Value			Unit
			Min.	Typ.	Max.	
集电极-发射极饱和电压 Collector-Emitter saturation voltage	$V_{GE}=15\text{V}, I_C=10\text{A}$ $V_{GE}=15\text{V}, I_C=10\text{A}$ $V_{GE}=15\text{V}, I_C=10\text{A}$	$T_{vj}=25^{\circ}\text{C}$ $T_{vj}=125^{\circ}\text{C}$ $T_{vj}=150^{\circ}\text{C}$	V_{Cesat}	1.68 1.88 1.92	2.10	V
栅极-发射极阈值电压 Gate-Emitter threshold voltage	$I_C=0.30\text{mA}, V_{GE}=V_{CE}$	$T_{vj}=25^{\circ}\text{C}$	$V_{GE(th)}$	5.65		
栅电荷 Gate charge	$V_{GE}=-15\text{V}\dots+15\text{V}$		Q_G	0.11		μC
内部栅极电阻 Internal gate resistor			R_{Gint}	None		Ω
输入电容 Input capacitance	$f=1\text{MHz}, V_{CE}=25\text{V}, V_{GE}=0\text{V}$	$T_{vj}=25^{\circ}\text{C}$	C_{ies}	0.86		nF
反向传输电容 Reverse transfer capacitance			C_{res}	0.02		
集电极-发射极截止电流 Collector-emitter cut-off current	$V_{CE}=1200\text{V}, V_{GE}=0\text{V}$	$T_{vj}=25^{\circ}\text{C}$	I_{CES}		1	mA
栅极-发射极漏电流 Gate-emitter leakage current	$V_{CE}=0\text{V}, V_{GE}=20\text{V}$	$T_{vj}=25^{\circ}\text{C}$	I_{GES}		100	nA
开通延迟时间 Turn-on delay time	$I_C=10\text{A}, V_{CE}=600\text{V}$ $V_{GE}=\pm 15\text{V}, R_G=40\Omega$ (电感负载) / (inductive load)	$T_{vj}=25^{\circ}\text{C}$ $T_{vj}=125^{\circ}\text{C}$ $T_{vj}=150^{\circ}\text{C}$	$t_{d\ on}$	49 47 43		ns
上升时间 Rise time	$I_C=10\text{A}, V_{CE}=600\text{V}$ $V_{GE}=\pm 15\text{V}, R_G=40\Omega$ (电感负载) / (inductive load)	$T_{vj}=25^{\circ}\text{C}$ $T_{vj}=125^{\circ}\text{C}$ $T_{vj}=150^{\circ}\text{C}$	t_r	38 39 40		
关断延迟时间 Turn-off delay time	$I_C=10\text{A}, V_{CE}=600\text{V}$ $V_{GE}=\pm 15\text{V}, R_G=40\Omega$ (电感负载) / (inductive load)	$T_{vj}=25^{\circ}\text{C}$ $T_{vj}=125^{\circ}\text{C}$ $T_{vj}=150^{\circ}\text{C}$	$t_{d\ off}$	239 283 295		

下降时间 Fall time	$I_C=10A, V_{CE}=600V$ $V_{GE}=\pm 15V, R_G=40\Omega$ (电感负载) / (inductive load)	$T_{vj}=25^\circ C$ $T_{vj}=125^\circ C$ $T_{vj}=150^\circ C$	t_f		162 259 241		
开通损耗能量 (每脉冲) Turn-on energy loss per pulse	$I_C=10A, V_{CE}=600V$ $V_{GE}=\pm 15V, R_G=40\Omega$ (电感负载) / (inductive load)	$T_{vj}=25^\circ C$ $T_{vj}=125^\circ C$ $T_{vj}=150^\circ C$	E_{on}		0.62 0.81 0.87		mJ
关断损耗能量 (每脉冲) Turn-off energy loss per pulse	$I_C=10A, V_{CE}=600V$ $V_{GE}=\pm 15V, R_G=40\Omega$ (电感负载) / (inductive load)	$T_{vj}=25^\circ C$ $T_{vj}=125^\circ C$ $T_{vj}=150^\circ C$	E_{off}		0.68 0.88 0.93		
结-外壳热阻 Thermal resistance, junction to case	每个 IGBT / per IGBT		R_{thJC}		1.25	1.40	K/W
在开关状态下温度 Temperature under switching conditions			$T_{vj op}$	-40		150	$^\circ C$

二极管, 制动-斩波器 / Diode, Brake-Chopper

最大额定值 / Maximum Ratings

Parameter	Conditions	Symbol	Value	Unit
反向重复峰值电压 Repetitive peak reverse voltage	$T_{vj}=25^\circ C$	V_{RRM}	1200	V
连续正向直流电流 Continuous DC forward current		I_F	8	A
正向重复峰值电流 Repetitive peak forward current	$t_p=1ms$	I_{FRM}	16	A
I^2t 值 I^2t -value	$V_R=0V, t_p=10ms, T_{vj}=125^\circ C$	I^2t	24	A^2t

特征值 / Characteristic Values

Parameter	Conditions	Symbol	Value			Unit
			Min.	Typ.	Max.	
正向电压 Forward voltage	$I_F=8A, V_{GE}=0V$ $I_F=8A, V_{GE}=0V$ $I_F=8A, V_{GE}=0V$	$T_{vj}=25^\circ C$ $T_{vj}=125^\circ C$ $T_{vj}=150^\circ C$	V_F	1.88 1.96 1.90	2.3	V
反向恢复峰值电流 Peak reverse recovery current	$I_F=8A,$ $-di_F/dt=203A/\mu s(T_{vj}=150^\circ C)$ $V_R=600V, V_{GE}=-15V$	$T_{vj}=25^\circ C$ $T_{vj}=125^\circ C$ $T_{vj}=150^\circ C$	I_{RM}	6 7 8		A
恢复电荷 Recovered charge	$I_F=8A,$ $-di_F/dt=203A/\mu s(T_{vj}=150^\circ C)$ $V_R=600V, V_{GE}=-15V$	$T_{vj}=25^\circ C$ $T_{vj}=125^\circ C$ $T_{vj}=150^\circ C$	Q_r	0.8 1.2 1.3		μC
反向恢复损耗 (每脉冲) Reverse recovered energy	$I_F=8A,$ $-di_F/dt=203A/\mu s(T_{vj}=150^\circ C)$ $V_R=600V, V_{GE}=-15V$	$T_{vj}=25^\circ C$ $T_{vj}=125^\circ C$ $T_{vj}=150^\circ C$	E_{rec}	0.27 0.49 0.53		mJ
结-外壳热阻 Thermal resistance, junction to case	每个 Diode / per diode		R_{thJC}	1.75	1.90	K/W
在开关状态下温度 Temperature under switching			$T_{vj op}$	-40	150	$^\circ C$

conditions

负温度系数热敏电阻 / NTC-Thermistor

特征值 / Characteristic Values

Parameter	Conditions	Symbol	Value			Unit
			Min.	Typ.	Max.	
额定电阻值 Rated resistances	$T_C=25^{\circ}\text{C}$, $\pm 5\%$	R_{25}		5.0		$\text{k}\Omega$
B-值 B-value	$\pm 1\%$	$B_{25/50}$		3380		K

模块 / Module

Parameter	Conditions	Symbol	Value			Unit
绝缘测试电压 Isolation test voltage	RMS, $f=50\text{Hz}$, $t=1\text{min}$	V_{ISOL}	2500			V
内部绝缘 Internal isolation			Al_2O_3			
储存温度 Storage temperature		T_{stg}	-40		125	$^{\circ}\text{C}$
模块安装的扭矩 Mounting torque for modul mounting		M	3.0		6.0	Nm
重量 Weight		W		23		g

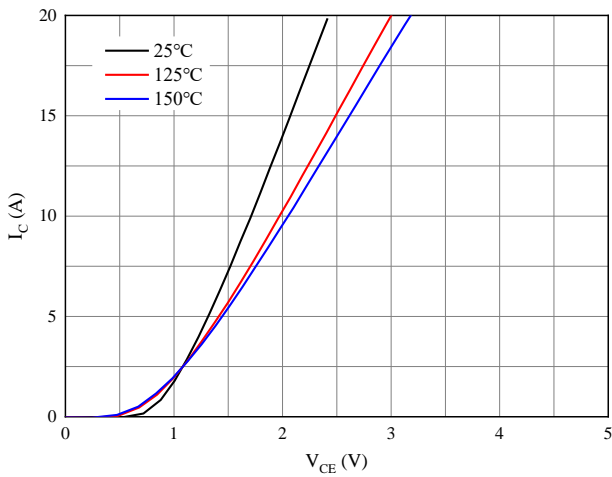


图 1. 典型输出特性 ($V_{GE}=15V$)

Figure 1. Typical output characteristics ($V_{GE}=15V$)

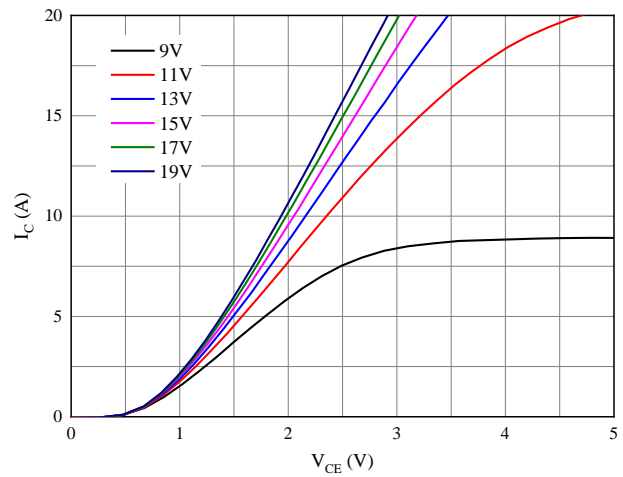


图 2. 典型输出特性 ($T_{vj}=150^{\circ}C$)

Figure 2. Typical output characteristics ($T_{vj}=150^{\circ}C$)

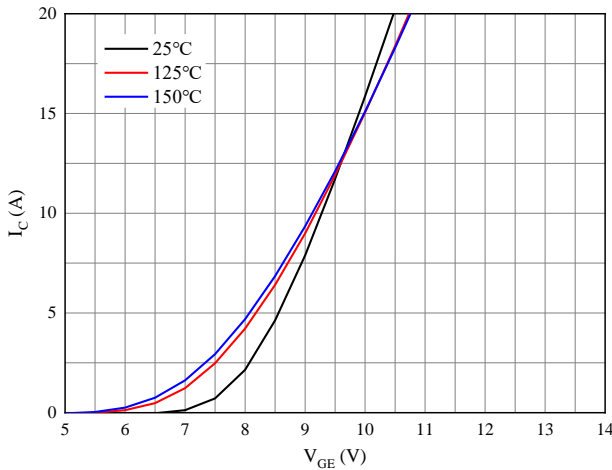


图 3. 典型传输特性 ($V_{CE}=20V$)

Figure 3. Typical transfer characteristic ($V_{CE}=20V$)

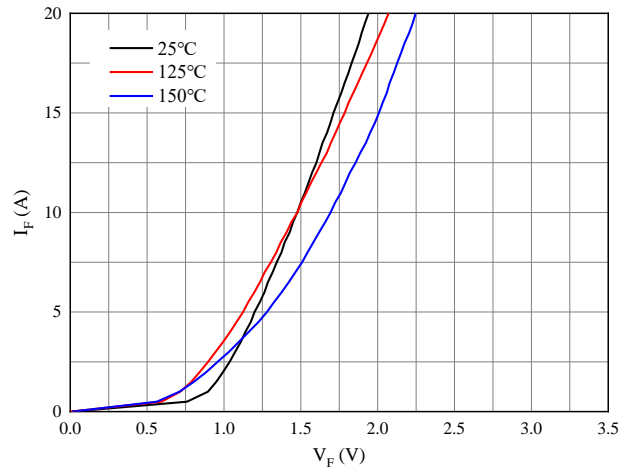


图 4. 正向偏压特性 二极管

Figure 4. Forward characteristic of Diode

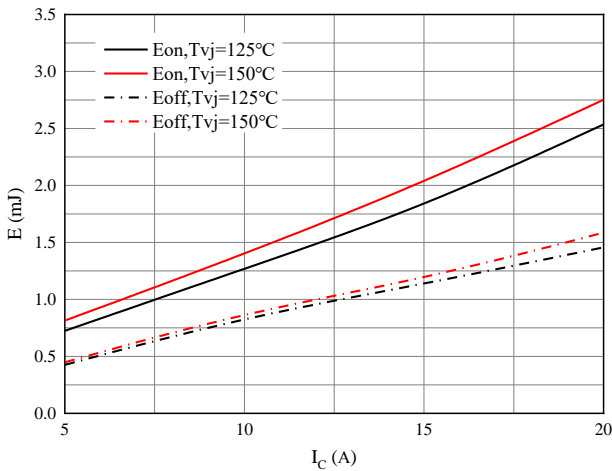


图 5. 开关损耗 逆变器

Figure 5. Switching losses of IGBT

$V_{GE}=\pm 15V, R_{Gon}=40\Omega, R_{Goff}=40\Omega, V_{CE}=600V$

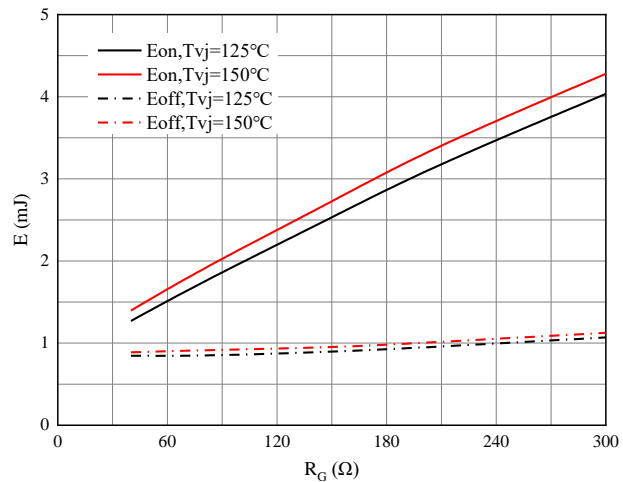


图 6. 开关损耗 逆变器

Figure 6. Switching losses of IGBT

$V_{GE}=\pm 15V, I_C=10A, V_{CE}=600V$

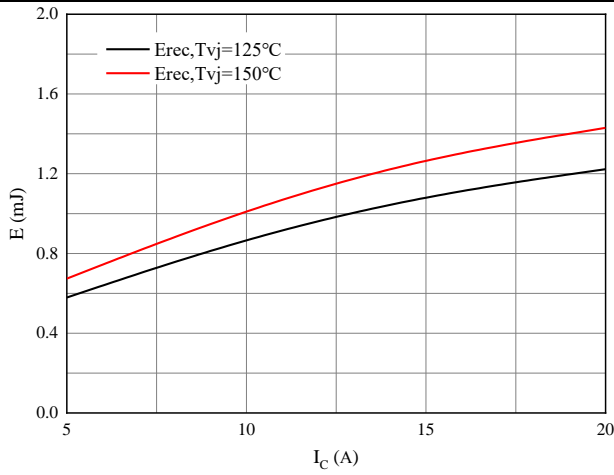


图 7. 开关损耗 二极管

Figure 7. Switching losses of Diode

$R_{Gon}=40\Omega, V_{CE}=600V$

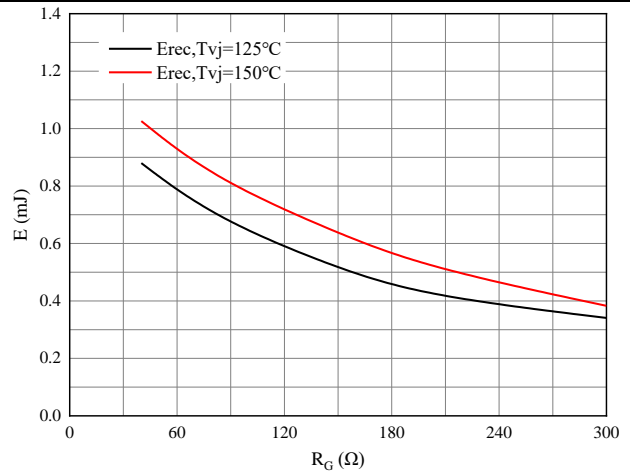


图 8. 开关损耗 二极管

Figure 8. Switching losses of Diode

$I_F=10A, V_{CE}=600V$

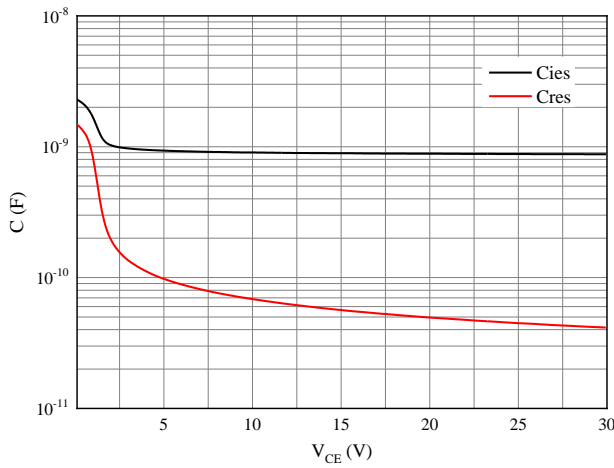


图 9. 电容特性

Figure 9. Capacitance characteristic

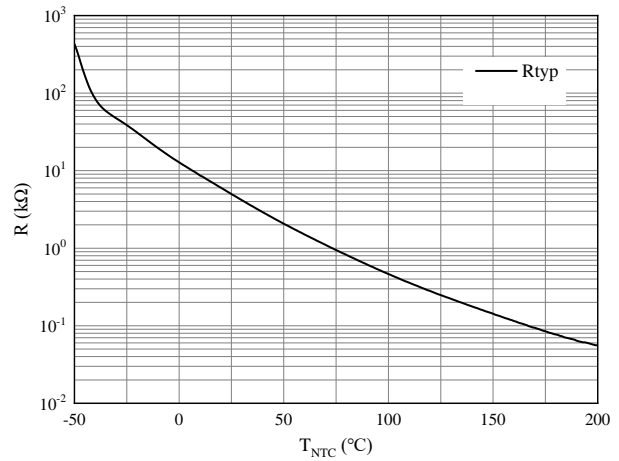
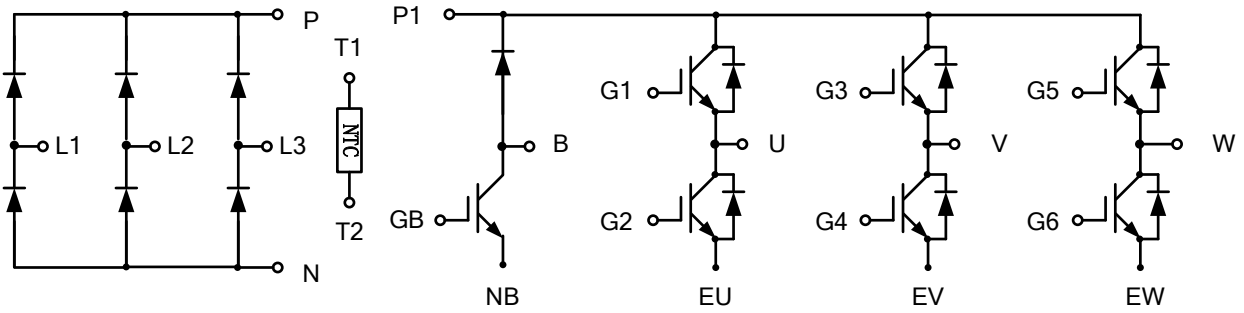


图 10. 负温系数热敏电阻 温度特性

Figure 10. NTC-Themistor-temperature characteristic

接线图 / Circuit diagram



封装尺寸 / Package outlines

